



En el Marco del Proyecto 397-PNICP-PIAP-2014

INFORME MENSUAL: marzo de 2019

EVENTOS HIDROLÓGICOS EXTREMOS EN LA AMAZONÍA PERUANA: Sistema de Alerta para la Previsión



Elaboración: Ing. Lucio Vergara S. (ANA) lvergara@ana.gob.pe

Revisión: Dr. Jhan Carlo Espinoza (IGP, IRD/IGE) jhan-carlo.espinoza@igp.gob.pe

Marzo, 2019

Lima-Perú

CONTENIDO

- I. Introducción
- II. Objetivo
- III. Datos hidroclimáticos
- IV. Análisis de las condiciones iniciales
 - 4.1. Análisis de las condiciones globales del clima
 - a. Temperatura superficial del mar
 - b. Circulación atmosférica global
 - c. Flujos de humedad y su divergencia
 - 4.2. Análisis de la precipitación
 - a. Anomalías de precipitación últimos 30 días, TRMM
 - b. Evolución temporal de anomalías de precipitación
 - 4.3. Análisis de registro de niveles de ríos
- V. Análisis de las previsiones
 - 5.1. Análisis de la temperatura superficial del mar
 - a. Pronóstico de la región Niño 3.4
 - b. Pronóstico de la región NATL
 - 5.2. Análisis del pronóstico de las precipitaciones
- VI. Conclusiones
- VII. Referencias

EVENTOS HIDROLÓGICOS EXTREMOS EN LA AMAZONÍA PERUANA:

Sistema de Alerta para la Previsión

I. Introducción

El presente informe mensual del estudio “Eventos Hidrológicos Extremos en la Amazonía Peruana: Sistema de Alerta Cualitativo para la Previsión”, está elaborado en el marco del observatorio ORE-HYBAM y es posible gracias al convenio interinstitucional entre la Autoridad Nacional del Agua y el Instituto Geofísico del Perú. Asimismo, este documento constituye un producto del proyecto 397-PNICP-PIAP-2014. Esta cooperación interinstitucional tiene como objetivo la elaboración e implementación del estudio en mención, con la finalidad de contar con un sistema estacional que permita prever los impactos de los eventos hidrológicos extremos en la sociedad de la Amazonía peruana.

Durante los últimos años, estudios científicos han evidenciado la influencia de la temperatura superficial del mar anómalos de algunas regiones oceánicas circundantes en la ocurrencia de eventos hidrológicos extremos en la Amazonía peruana, como es descrito en Espinoza et al. (2009, 2011, 2012a y 2013) y Yoon & Zeng (2010), así como en Lavado et al. (2012), entre otros.

En este informe mensual correspondiente al mes de marzo 2019, se presentan los resultados del análisis de las condiciones actuales hasta el último día del mes y la previsión de las variables hidroclimáticas para los próximos 03 meses.

II. Objetivo

Establecer el sistema de alerta cualitativo estacional que permita conocer, bajo un criterio técnico, las condiciones hidrológicas más probables de los principales ríos Amazónicos peruanos durante las estaciones críticas del año. Esto permitirá prever la posible ocurrencia de eventos hidrológicos extremos.

III. Conjunto de Datos

La base de datos de las variables hidroclimáticas, se viene actualizando diariamente, semanalmente y mensualmente con información proveniente de diferentes agencias internacionales de investigación del clima y disciplinas afines, así como de servicios nacionales y locales. Para más detalle revisar el primer informe mensual y complementario correspondiente al mes de setiembre de 2013.

IV. Análisis de Condiciones Iniciales

4.1. Condiciones Globales y Regionales del Clima

En esta sección presentamos el análisis de las anomalías de temperatura superficial del mar (TSM) del Pacífico ecuatorial y Atlántico tropical, y de la circulación atmosférica regional con dominio de América del Sur (50°N a 60°S, 0°W a 150°W). Asimismo, el análisis de los flujos de humedad y su divergencia en la región (20°N a 30°S, 100°W a 20°W). Las informaciones provienen de la Administración Nacional Oceánica Atmosférica de los Estados Unidos (NOAA por sus siglas en inglés). Las anomalías de TSM son reportados en grados Celsius (°C) y las anomalías de vectores de viento en m/s, ambos en formato gráfico.

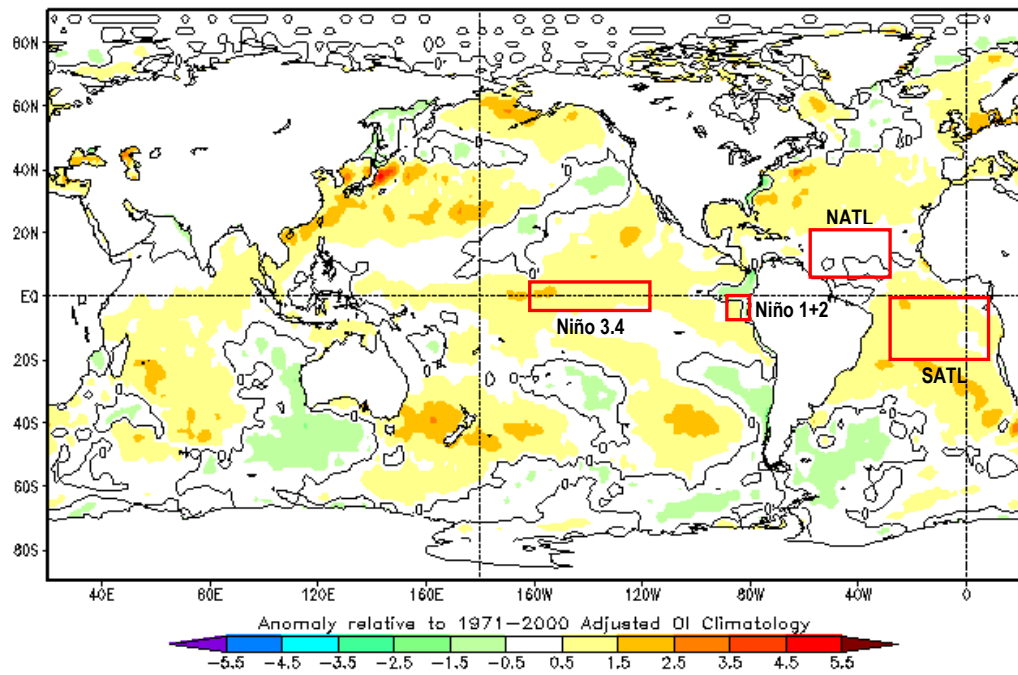
a) Anomalías de Temperatura Superficial del Mar (TSM)

Durante el mes de marzo de 2019, la región del Pacífico ecuatorial Central (Niño 3.4), mostró anomalías positivas de TSM de +1.0°C en promedio (región con predominancia de color amarillo en Fig. 1 y Tabla 1). Asimismo, la región del Pacífico ecuatorial Este (Niño 1+2), mostró ligeras anomalías positivas de TSM de +0.3°C en promedio (Tabla 1 y región de color amarillo en Fig. 1). El Comunicado Oficial N°07-2019 (abril) del ENFEN, confirma que la anomalía de la TSM es en promedio de +1°C para la región central (Niño 3.4) y +0,3°C para la región oriental (Niño 1+2, cerca de la costa peruana), en lo que va de marzo.

La TSM en la región del Atlántico tropical Norte (NATL), mostró condiciones neutras con anomalías de TSM de 0.0°C en promedio (región con predominancia de color blanco, ver Fig. 1 y Tabla 1), con un ligero descenso respecto al mes de febrero. Asimismo, la TSM del Atlántico tropical Sur (SATL) mostró anomalías positivas de +0.6°C en promedio durante el periodo de análisis (Fig. 1 y Tabla 1).

En resumen, la TSM en el Pacífico ecuatorial central y extremo oriental muestran condiciones más cálidas en ambas regiones, asimismo, la TSM del Atlántico tropical Sur, muestran condiciones ligeramente más cálidas, durante el mes de marzo del 2019 (Fig. 1).

Olv2 Sea Surface Temperature Anomaly (°C)
March 2019



GRADS: COLA/ICES NCEP/EMC/Global Climate & Weather Modeling Branch

Fig. 1: Anomalías de temperatura superficial del mar (TSM) en °C del mes de marzo de 2019. Las anomalías son calculadas utilizando la climatología del periodo base 1971-2000. Fuente CPTEC/INPE/BRASIL.

MARZO 2019								
MES	TSM PACÍFICO				TSM ATLÁNTICO			
	NIÑO 1+2		NIÑO 3.4		N. ATL		S. ATL	
	0-10S	90W-80W	5N-5S	170W-120W	5N-20N	60W-30W	0-20S	30W-10E
MAR 18	-0.8	25.8	-0.7	26.5	0.1	25.7	-0.4	26.7
ABR 18	-1.0	24.6	-0.4	27.4	-0.2	25.7	-0.1	27.0
MAY 18	-0.5	23.7	-0.1	27.7	-0.5	25.9	-0.1	26.1
JUN 18	-0.7	22.2	0.2	27.9	-0.7	26.1	0.2	25.1
JUL 18	-0.2	21.4	0.3	27.5	-0.5	26.7	0.1	23.8
AGO 18	0.0	20.7	0.3	27.1	-0.2	27.6	-0.2	22.9
SET 18	0.0	20.3	0.4	27.1	0.1	28.2	-0.1	22.9
OCT 18	0.4	21.2	0.9	27.6	-0.1	28.0	0.1	23.4
NOV 18	0.7	22.3	1.0	27.6	-0.3	27.3	0.0	24.0
DIC 18	0.8	23.6	1.0	27.5	-0.4	26.4	0.2	25.0
ENE 19	0.6	25.1	0.5	27.1	-0.3	25.7	0.2	25.8
FEB 19	0.3	26.5	0.7	27.4	0.2	25.8	0.3	26.8
MAR 19	0.3	26.9	1.0	28.2	0.0	25.6	0.6	27.7

Tabla 1. Temperatura superficial del mar (Anomalías 1ra. columna y °C 2da. columna) para los últimos 12 meses. Las anomalías son variaciones respecto a la climatología de 1981-2010 (Smith & Reynolds, 1998), de regiones oceánicas relevantes para la previsión de eventos extremos en la Amazonía peruana.

b) Anomalías de la Circulación Atmosférica

Se observó una débil incursión de vientos provenientes del Atlántico tropical Norte en el extremo norte del continente. De otro lado, al este de la cuenca Amazónica se observó debilitamiento de los vientos Alisios. Sin embargo, se observa la intensificación de los vientos del noreste en el sur de la cuenca del Amazonas direccionados a la cuenca del río de La Plata (Fig. 2).

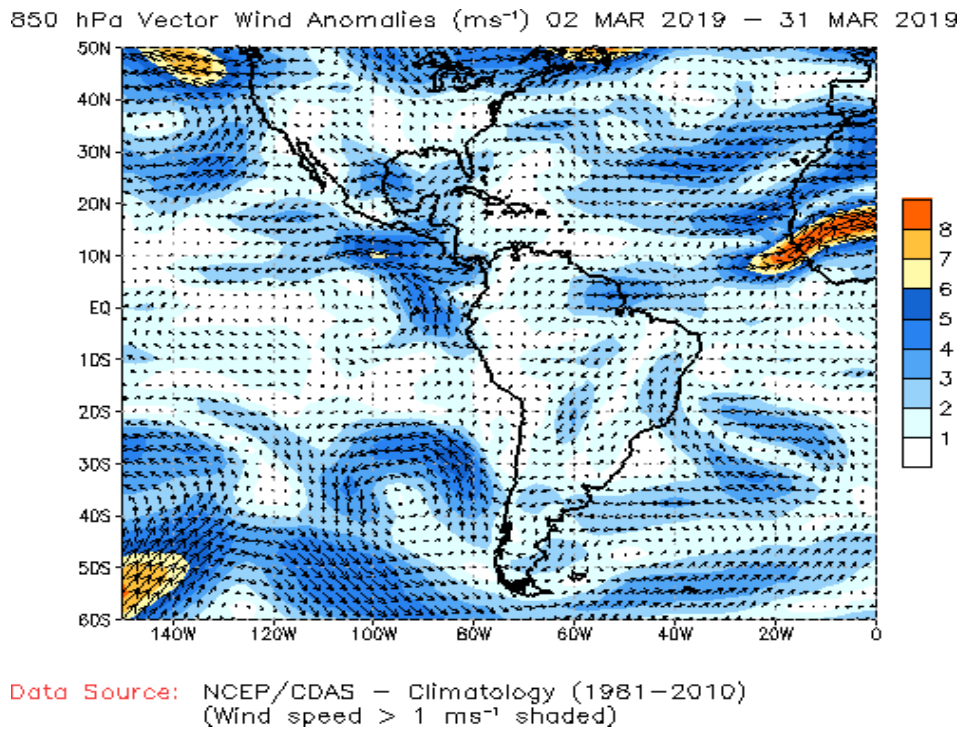


Fig. 2: Vectores de Anomalías de viento en niveles bajos (850 hPa) de la atmósfera, (del 02 al 31 de marzo de 2019). Las anomalías fueron calculadas utilizando el periodo base los promedios entre 1981 y 2010. Fuente: NOAA/NCEP.

c) Anomalías de Transporte de Humedad y su Divergencia

Los flujos de humedad y su divergencia fueron elaborados con datos de reanálisis NCEP/NCAR de la NOAA, con una resolución espacial de 2.5°x2.5° y resolución temporal diaria. El periodo de análisis es del año 1970 al presente (48 años), en la región entre 20°N-30°S y 100°W-20°W.

El flujo de humedad integrado verticalmente, F_w , en un punto de cuadrícula está dado por la siguiente ecuación:

$$F_w = \frac{1}{g} \int_{1000}^{300} q \cdot V \cdot dp$$

donde g es la aceleración de la gravedad, q es la humedad específica, V es el vector de viento horizontal y p es la presión. Los flujos son integrados desde la superficie hasta 300 hPa. Para más detalle revisar Satyamurty *et al.* (1998).

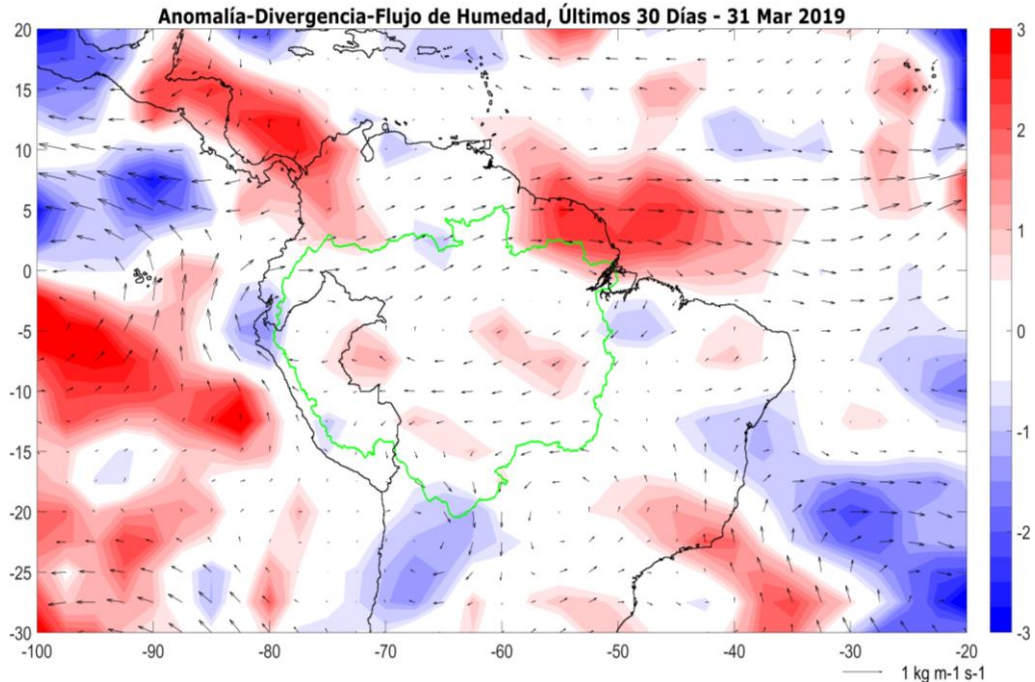


Fig. 3: Anomalías de flujo de humedad integrado en los niveles de 1000 hPa a 300 hPa de la atmósfera (vectores) y su divergencia (colores). El periodo corresponde del 01 hasta el 31 de marzo 2019. Las anomalías son calculadas utilizando el periodo base de 1970 a 2018. Los límites de la cuenca Amazónica se muestran en línea verde.

En la Figura 3 se observa una moderada anomalía de divergencia de flujos de humedad en la región este (cuenca baja de la cuenca de los ríos Tapajós y Madeira) y la región suroeste (cuencas de los ríos Juruá, Beni y Mamoré) de la cuenca del Amazonas producto de las características de la circulación atmosférica mostrada en la Figura 2. De otro lado, se observa condiciones normales de flujo de humedad en gran parte de la cuenca del Amazonas, con ausencia de convergencia de vapor de agua a nivel de toda la cuenca en mención (Figura 3).

4.2. Análisis de Precipitaciones

Esta sección presenta el análisis de las anomalías de precipitación del producto de Radar Tropical Rainfall Measuring Mission en tiempo real (TRMM-3B42RT). Para más detalle revisar Huffman et al. (2010). Los datos de TRMM-RT son reportados a paso de tiempo diarios a nivel global, pero procesados para la región de interés (10°N a 25°S; 85°W a 45°W) haciendo uso del programa Matlab®, mostrando anomalías de precipitación en mm/día.

a) Anomalías de Precipitación Radar TRMM-RT

Durante el periodo de 01 hasta 31 de marzo 2019, según datos de TRMM-RT, los valores de la precipitación fueron inferiores al promedio climatológico en gran parte de la región noreste y suroeste de la cuenca del Amazonas (anomalías negativas sobre la cuenca de los ríos Japurá, Branco y Trombetas, cuyas anomalías negativas de precipitación alcanzaron hasta -7 mm/día en promedio). Anomalías negativas de precipitación también predominaron alrededor de la frontera entre Perú y Bolivia (Figura 4). Al mismo tiempo, se observaron precipitaciones superiores al promedio climatológico en la región sureste de la cuenca del Amazonas y norte de la Amazonia peruana, cuyas anomalías alcanzaron en promedio +5 mm/día, (ver Fig. 4).

Las condiciones de precipitación mostradas por la fuente de datos del TRMM-RT en la cuenca del Amazonas, son coherentes con el debilitamiento de los vientos Alisios en el Atlántico ecuatorial y al ingreso de vientos húmedos del Pacífico ecuatorial Este (ver Fig. 2). Las divergencias de flujos de humedad sobre gran parte de la cuenca del río Amazonas (Fig. 3), originaron déficit de lluvias sobre gran parte de la región noreste de la misma, gran parte de la Amazonía boliviana y cuencas altas de la Amazonía peruana. De otro lado, exceso de lluvias se concentró en la región sureste de la cuenca del Amazonas y norte de la Amazonía peruana (Fig. 4).

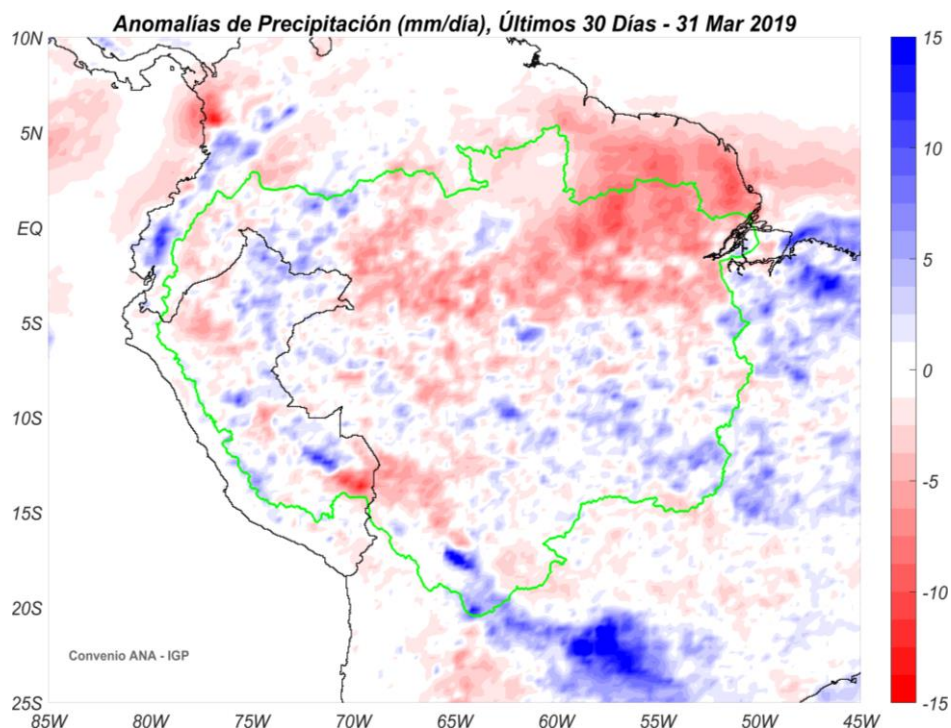


Fig. 4: Anomalías de precipitación estimadas por el TRMM-RT en mm/día hasta 31 de marzo de 2019. Las anomalías fueron calculadas con respecto al periodo base promedio 2000-2018. Se muestra los límites de la cuenca Amazónica en líneas de color verde. Las anomalías de precipitación del TRMM-RT actualizadas a tiempo real puede verse en: <http://intranet.igp.gob.pe/eventos-extremos-amazonia-peruana/>.

b) Evolución Temporal de Anomalías de Precipitación para las Cuencas Amazónicas Peruanas

La evolución temporal de anomalías de precipitación para las principales cuencas hidrográficas de la Amazonía peruana fue calculada utilizando las estimaciones del producto TRMM-RT. El periodo para la obtención del armónico de la precipitación es del 2000 al 2017 para cada cuenca (la estación de Tamshiyacu en el río Amazonas, la estación de San Regis en el río Marañón y la estación de Requena en el río Ucayali. Ver ubicación de las estaciones y cuencas de drenaje en la Fig. 5). Los armónicos consisten en la representación de las fluctuaciones o variaciones en una serie de datos como la suma de una serie de funciones de senos y cosenos.

Utilizando el análisis de armónicos de la precipitación, se calculó la anomalía de precipitación diaria suavizadas mediante una media móvil de 15 días y la anomalía de precipitación acumulada desde el inicio del año hidrológico (01/09).

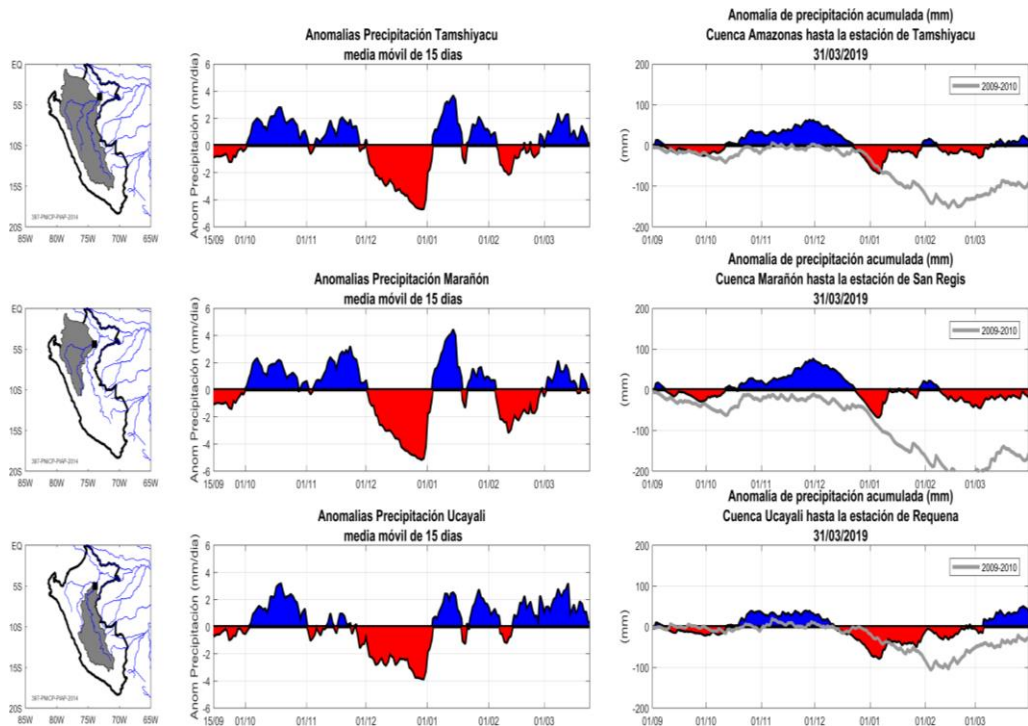


Fig. 5: Evolución temporal de anomalías de precipitación integradas en las principales cuencas hidrográficas de la Amazonía peruana: el río Amazonas hasta la estación Tamshiyacu (arriba), el río Marañón hasta la estación San Regis (medio) y el río Ucayali hasta la estación Requena (abajo). En la columna de la izquierda se observa la ubicación de las cuencas hidrográficas. En la columna del medio se muestran anomalías de precipitación. En la columna de la derecha se muestran anomalías acumuladas hasta la fecha indicada. En color azul se indican anomalías positivas de precipitación (valores por encima del promedio climatológico), en color rojo anomalías negativas de precipitación (valores por debajo del promedio climatológico). Las anomalías son calculadas considerando un periodo base de 2000 al 2017. La línea de color gris muestra la precipitación acumulada correspondiente a cada cuenca hidrográfica para el año 2009-2010. Para ver esta figura actualizada a tiempo real ir a: <http://intranet.igp.gob.pe/eventos-extremos-amazonia-peruana/>.

Las series temporales de precipitación promedio en las cuencas de la Amazonía peruana (Amazonas, Marañón y Ucayali), presentaron condiciones más húmedas de lo normal con magnitudes de +2.0 mm/día en promedio a fines del mes de marzo. En general, las cuencas del sur de la Amazonía peruana, mostraron condiciones más húmedas de lo normal durante el mes de marzo, asimismo, el mes de febrero fue particularmente lluvioso (ver Fig. 5, columna central).

Por otro lado, en la cuenca del Amazonas hasta la estación de Tamshiyacu (cerca de Iquitos), la anomalía de precipitación acumulada para el presente año hidrológico, es en exceso (+20 mm). Además, en la cuenca del río Ucayali, se

observa exceso de precipitación acumulada para el presente año hidrológico, que alcanza los +50 mm en promedio. Esta cuenca representa la menor contribución a la precipitación acumulada respecto a la cuenca de Tamshiyacu (Fig. 5, derecha). En el norte de la Amazonía peruana, en la cuenca del río Marañón, la precipitación acumulada es deficitaria con una magnitud de -20 mm en promedio.

4.3. Análisis de Niveles de Agua de los Ríos

El SEHINAV (Servicio de Hidrografía y Navegación de la Amazonía) de la Dirección de Hidrografía y Navegación, reporta en tiempo real los histogramas de niveles de los ríos de la Amazonía peruana a paso diario. Estos productos están expresados en alturas geoidales y arbitrarias, y se pueden encontrar en el siguiente enlace: <https://www.dhn.mil.pe/shna/index2.asp>.

Los niveles de agua de los principales ríos de la Amazonía peruana fueron analizados hasta el 16 de abril 2019. Las estaciones de Tamshiyacu, San Regis, Requena y Pucallpa registraron anomalías de niveles de agua superiores a lo normal, siendo estas anomalías de +0.3%, +2.2%, +0.3% y +0.3%, respectivamente. Asimismo, la estación de Yurimaguas registró anomalías de niveles de agua inferior a lo normal, siendo esta anomalía de -0.2%. De otro lado, los ríos Amazonas, Marañón y Ucayali siguen superando sus niveles de inundación inminente. Cabe señalar que, sobre gran parte de la Amazonía peruana, se mostraron divergencias de flujo de humedad (ver Fig. 3), que originaron déficit de precipitación (ver Fig. 4), los cuales reflejan en la declinación de niveles de agua en esta región (estaciones de Pucallpa, Yurimaguas, San Regis y Requena), durante el mes de marzo.

En resumen, la mayoría de los ríos se encuentran en sus etapas de declinación del ascenso de los niveles de agua, bajo condiciones superiores a lo normal (ver Fig. 6).

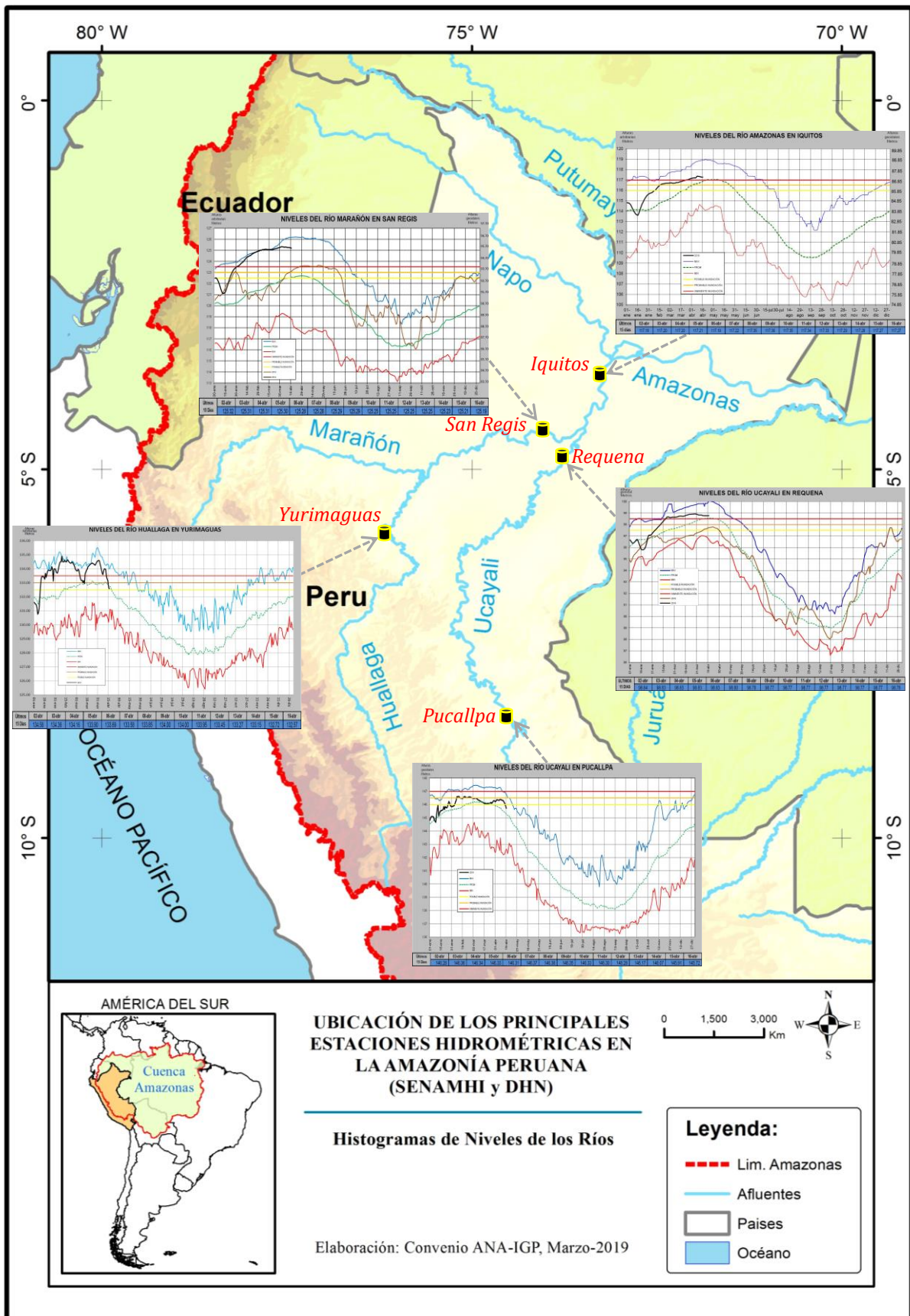


Fig. 6: Histograma de niveles de ríos diarios de los principales ríos de la Amazonía peruana. Fuente: DHN (<https://www.dhn.mil.pe/>).

V. Análisis de las Previsiones

En este capítulo se analizan los pronósticos de las anomalías de temperatura superficial del mar en las regiones más relevantes (Niño 3.4, Niño 1+2, NATL y SATL). Además, se analizan las anomalías de precipitación para los próximos 03 meses, que corresponden a la temporada de estiaje en la región de la Amazonía peruana. Los reportes provienen de las agencias internacionales y nacionales de pronóstico del clima (IRI, NOAA, CPTEC e IGP).

5.1. Análisis de la Temperatura Superficial del Mar

Esta sección contiene los pronósticos de anomalía de temperatura superficial del mar a nivel global desarrollados por el International Research Institute for Climate and Society (IRI) y el US National Multi-Model Ensemble (NMME). Los gráficos de pronósticos del Pacífico ecuatorial y el Atlántico tropical fueron elaborados por el Instituto Geofísico del Perú (IGP) en el marco del Estudio Nacional del Fenómeno El Niño (ENFEN).

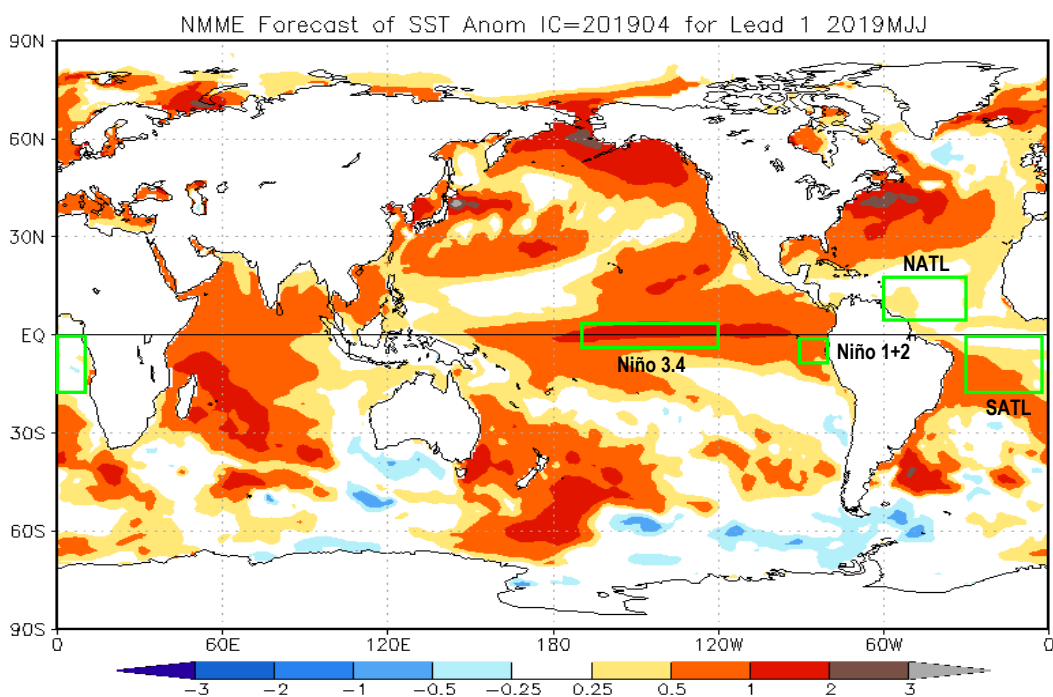


Fig. 7: Pronóstico de las anomalías de TSM (°C) a nivel global, para el trimestre mayo-junio-julio 2019 (MJJ). Rectángulos verdes indican regiones de análisis. Fuente: *National Multi-Model Ensemble* (NMME).

Según el reporte del NMME, los pronósticos de anomalías de TSM para el trimestre mayo-junio-julio 2019 (MJJ), en la región Niño 3.4 se proyectan condiciones cálidas de magnitud moderada a fuerte (1.5°C; región con predominancia de color rojo en Fig. 7). De igual manera, se proyectan temperaturas cálidas para la región Niño 1+2 (región con predominancia de color naranja en Fig. 7). Además, el Comunicado Oficial ENFEN N°07-2019 (abril) señala que, los modelos climáticos internacionales pronostican para la región de El Niño 1+2 y la región de El Niño 3.4, condiciones cálidas débiles de mayo a setiembre. Esto implicaría que, si bien debido a la estacionalidad las temperaturas descenderán durante el periodo de otoño, estas se mantendrían ligeramente por encima de su promedio. Hay que tener en cuenta que los pronósticos de los modelos internacionales para otoño, y más aún para invierno, presentan mayor incertidumbre.

Para la región del Atlántico tropical Norte (NATL) se prevén condiciones normales (región con predominancia de color blanco, ver Fig. 7). Sin embargo, para la región del Atlántico tropical Sur (SATL) se pronostican condiciones ligeramente cálidas (región con predominancia de color amarillo/naranja, ver Fig. 7). Asimismo, en la región subtropical del Atlántico Sur, se observarían condiciones cálidas de magnitud moderada a fuerte (región con anomalías positivas de TSM superiores a 1.5°C, en forma concentrada, ver la Fig. 7).

a) Pronóstico de la Región El Niño 3.4

Con respecto a los reportes de NMME (North American Multi-Model Ensemble), las proyecciones de las anomalías de TSM en el Pacífico ecuatorial Central (Niño 3.4) para los próximos 03 meses (AMJ), presentarían condiciones moderadamente cálidas de acuerdo con el ensamble de los modelos (anomalías de TSM por encima del promedio climatológico con +1.0°C, ver Fig. 8). Sin embargo, a partir del mes de junio del año 2019, mantendría una ligera tendencia negativa durante los próximos meses del año (ver Figura 8).

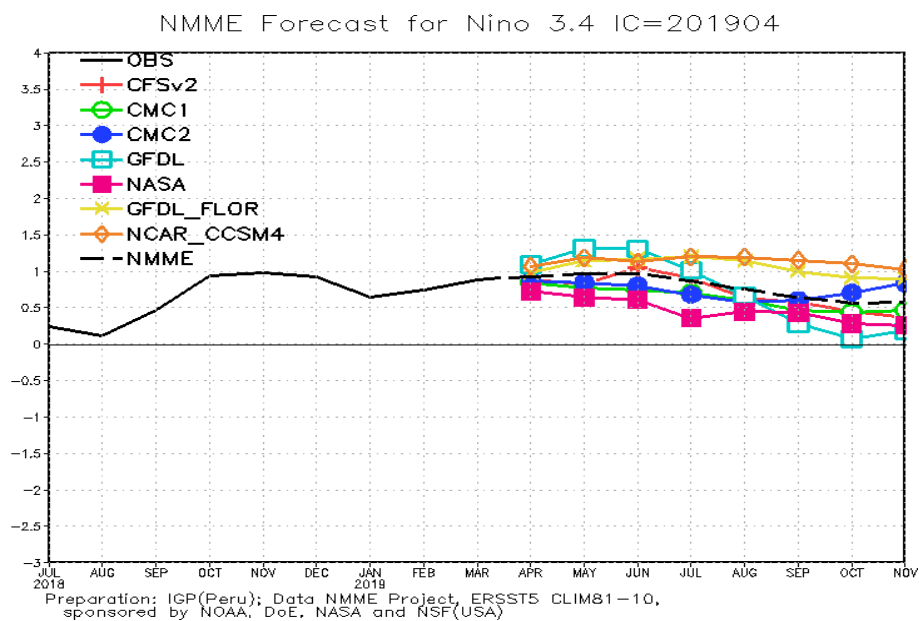


Fig. 8: Pronóstico de las anomalías de temperatura superficial del mar (TSM) por modelos acoplados para la región Niño 3.4 (5°N-5°S, 120°W-170°W) del Pacífico ecuatorial central, a partir de condiciones de fines de marzo 2019. Fuente: *Instituto Geofísico del Perú (IGP)*.

b) Pronóstico de la región Atlántico tropical Norte

Según el reporte del IGP elaborado con datos del NMME, los modelos de pronósticos de fines de marzo 2019, prevén que las anomalías de TSM en el Atlántico tropical Norte (NATL), mostrarían condiciones ligeramente cálidas (anomalías de TSM por encima del promedio climatológico con +0.1°C en promedio, pero, dentro del rango neutral, ver Fig. 9) para el próximo trimestre abril-mayo-junio (AMJ) del 2019. Asimismo, mantendrían una tendencia ligeramente positiva los próximos meses del año.

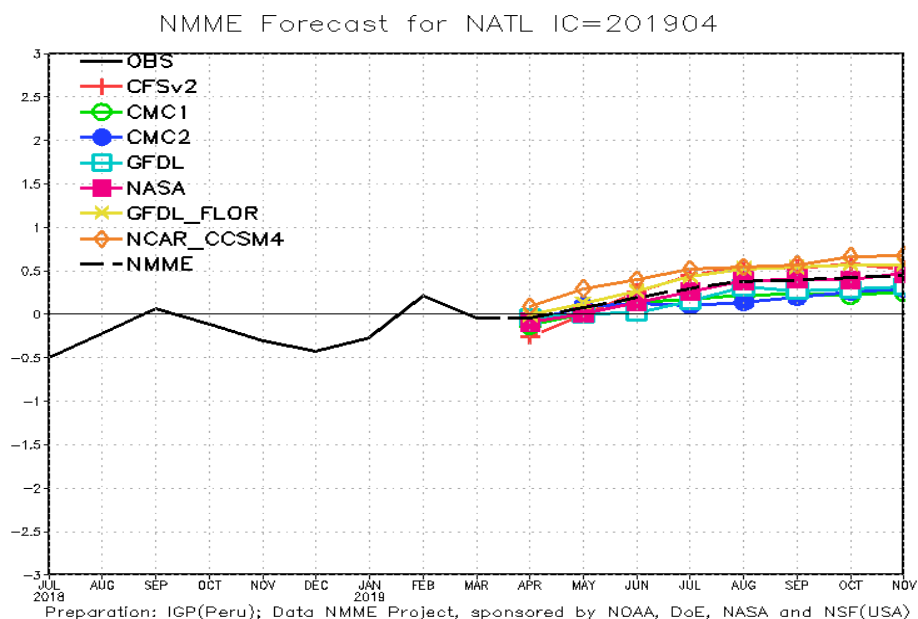


Fig. 9: Pronóstico de las anomalías de temperatura superficial del mar (TSM) para la región del Atlántico tropical Norte (NATL: 5°N-20°N, 30°W-60°W), a partir de condiciones de fines de marzo 2019. Fuente: *Instituto Geofísico del Perú (IGP)*.

5.2. Análisis del Pronóstico de las Precipitaciones

Según el reporte del CPTEC, el pronóstico de anomalías de precipitaciones para los próximos 03 meses abril-mayo-junio (AMJ) del 2019 con datos observados de fines de marzo, mostrarían dominio de condiciones normales en gran parte de la región sur de la cuenca del río Amazonas y la Amazonía peruana. Sin embargo, se observaría ligeras anomalías negativas en la región noreste de la cuenca del Amazonas. Por otro lado, mostrarían precipitaciones superiores respecto al promedio climatológico en la región norte de la Amazonía peruana con un déficit que superaría +1.5 mm/día en promedio (Fig. 10).

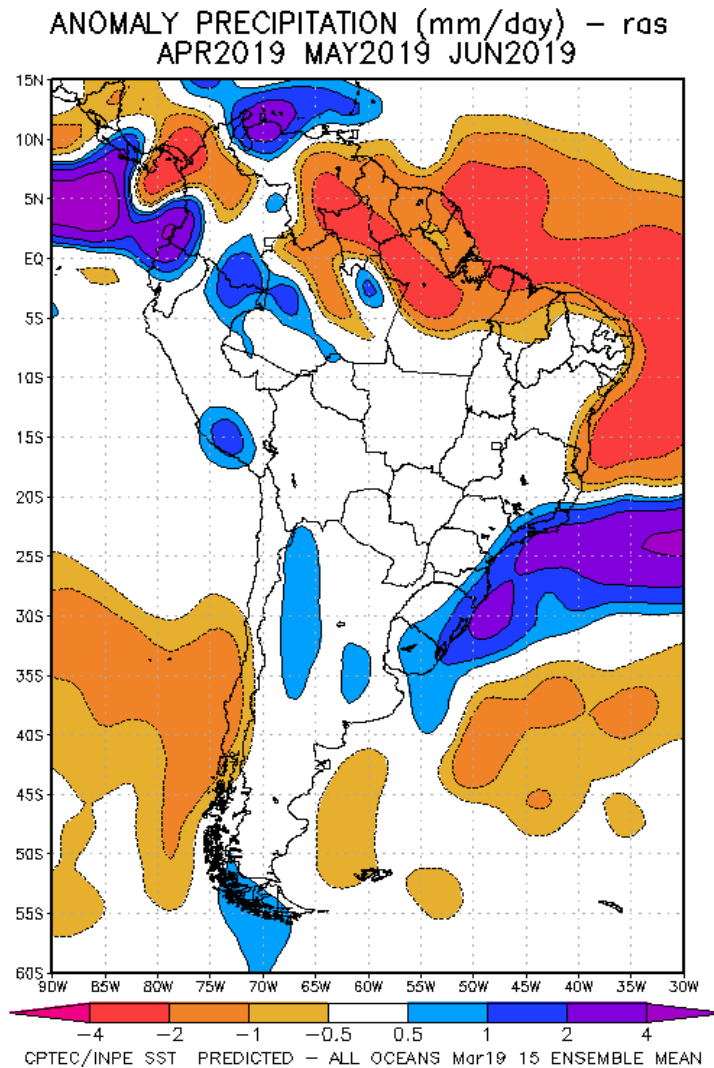


Fig. 10: Pronóstico de las anomalías de la precipitación (mm/día) método ras para el trimestre AMJ del 2019 en América del Sur, con datos observados de fines del mes de marzo de 2019. Fuente: CPTEC/INPE.

VI. Conclusiones

Durante el mes de marzo 2019 el Pacífico ecuatorial Central (región Niño 3.4) mostró condiciones cálidas moderadas (anomalías positivas de TSM de +1.0°C). Asimismo, la región Niño 1+2 presentó condiciones ligeramente cálidas (anomalías positivas de TSM de +0.3°C), según lo indicado por el ENFEN en su Comunicado Oficial N°07-2019 (abril). El Atlántico tropical Norte (NATL) mostró condiciones normales y el Atlántico tropical Sur (SATL), mostró condiciones ligeramente cálidas con anomalías de TSM de +0.6°C.

Para el periodo de análisis (marzo) se observó una débil incursión de vientos provenientes del Atlántico tropical Norte en el extremo norte del continente. De otro lado, se observó debilitamiento de los vientos Alisios en el Atlántico ecuatorial. Estás

condiciones han generado divergencias de flujo de humedad en gran parte de la cuenca del Amazonas, por ende, déficit de lluvias se observó en gran parte de la región noreste de la cuenca del Amazonas y gran parte de la Amazonía boliviana y cuencas altas de la Amazonía peruana. Estas condiciones climáticas han producido una declinación del ascenso en los niveles de agua de los principales ríos Amazónicos (Amazonas, Marañón y Ucayali con valores que superaron sus niveles de inundación inminente) durante el mes de marzo.

Respecto a las condiciones oceánicas para el próximo trimestre (MAM), el ENFEN señala en su Comunicado Oficial ENFEN N°07-2019 (abril) los modelos climáticos internacionales pronostican para la región de El Niño 1+2 y la región de El Niño 3.4, condiciones cálidas débiles de mayo a setiembre. Estas condiciones resultan de especial atención para la hidrología amazónica ya que el desarrollo de El Niño en el Pacífico central esta frecuentemente asociado a condiciones secas en la Amazonía peruana durante los meses de verano (Espinoza et al., 2011; Marengo y Espinoza, 2015). Estas condiciones seguirán monitoreándose en los meses que siguen.

La base de datos de las variables hidroclimáticas se sigue actualizando continuamente, recopilando informaciones provenientes de diferentes agencias internacionales de investigación del clima e instituciones locales (NOAA, IRI, CPTEC, SENAMHI, etc.). Desde el mes de febrero 2015 las variables de precipitación se encuentran a tiempo real en la página web <http://intranet.igp.gob.pe/eventos-extremos-amazonia-peruana/>.

VII. Referencias

- Espinoza J. C., Guyot J-L, Ronchail J, Cochonneau G, Filizola N, Fraizy P, de Oliveira E, Ordoñez J J and Vauchel P (2009). Contrasting regional discharge evolutions in the Amazon basin (1974–2004) *J. Hydrol.* 375 297–311
- Espinoza J. C., Ronchail J., Guyot J. L., Junquas C., Vauchel P., Lavado W., Drapeau G. y Pombosa R. (2011). “Climate variability and extreme drought in the upper Solimões River (western Amazon Basin): Understanding the exceptional 2010 drought”. *Geophys. Res. Lett.* 38 L13406.
- Espinoza J. C., Ronchail J., Frappart F., Lavado W., Santini W., y Guyot J. L. (2012a). The Major Floods in the Amazonas River and Tributaries (Western Amazon Basin) during the 1970–2012 Period: A Focus on the 2012 Flood. *Journal of Hydrometeorology*.

- Espinoza J. C., Lengaigne M. Ronchail J., Janicot S. (2012b). Large-Scale circulation Patterns and related rainfall in the Amazon basin: a Neuronal Networks approach. *Climate Dynamics*. 38. 121-140. DOI. 10.1007/s00382-011-1010-8
- Espinoza, J.C., Ronchail, J., Frappart, F., Lavado, W., Santini, W., and Guyot, J.L. (2013). The Major Floods in the Amazonas River and Tributaries (Western Amazon Basin) during the 1970–2012 Period: A Focus on the 2012 Flood, *J. Hydrometeorol*, 14, 1000–1008.
- Espinoza J.C. Marengo J.A. Ronchail J. Molina J., Noriega L., Guyot J.L. 2014. The extreme 2014 flood in south-western Amazon basin: The role of tropical-subtropical south Atlantic SST gradient. *Environm. Res. Lett.* 9 124007 doi:10.1088/1748-9326/9/12/124007.
- Espinoza J.C., Chavez S., Ronchail J., Junquas C., Takahashi K., Lavado W. (2015). Rainfall hotspots over the southern tropical Andes: Spatial distribution, rainfall intensity and relations with large-scale atmospheric circulation. *Water Resources Res.* 51, doi:10.1002/2014WR016273.
- Huffman G.J., R.F. Adler, D.T. Bolvin, E.J. Nelkin, (2010) “The TRMM Multi-Satellite Precipitation Analysis (TMPA)”. Chapter 1 in *Satellite Applications for Surface Hydrology*, F. Hossain and M. Gebremichael, Eds. Springer Verlag, ISBN: 978-90-481-2914-0, 3-22.
- Lavado C W S, Ronchail J, Labat D, Espinoza J C and Guyot J L (2012). “Basin-scale analysis of rainfall and runoff in Peru (1969–2004): Pacific, Titicaca and Amazonas watersheds” *Hydrol. Sci. J.* at press (doi:10.1080/02626667.2012.672985).
- Marengo, J.A. and Espinoza, J.C. (2015) “Extreme Seasonal Droughts and Floods in Amazonia: Causes, Trends and Impacts”. *International Journal of Climatology*, 36, 1033-1050.
- Satyamurty P., Nobre C. A., Silva Dias P.L. (1998). “Tropics - South America”. In: Karoly DJ, Vincent DG (Org.) *Meteorology and hydrology of the Southern Hemisphere*. Boston: Meteorology Monograph. 49:119–139.
- Yoon J. H. y Zeng H. (2010). “An Atlantic influence on Amazon rainfall”. *Clim. Dyn.* 34 249–64.